

GLO-4030/7030

APPRENTISSAGE PAR RÉSEAUX DE NEURONES PROFONDS

Spatial Transformer Networks (2015)

Max Jaderberg

Karen Simonyan

Andrew Zisserman

Koray Kavukcuoglu

Google DeepMind, London, UK

{jaderberg, simonyan, zisserman, korayk}@google.com

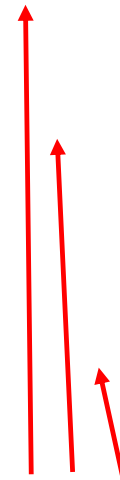
Hiver 2020



Philippe Giguère

Description générique

- **But** : améliorer l'invariance spatiale à
 - translation, rotation, échelle, déformation élastique, etc.
- **Comment** : ajouter un module ajustable (*learnable*) qui manipule explicitement les données dans le domaine spatial
- Pleinement différentiable
- Peut être insérée partout dans une architecture préexistante
- Vérité-terrain sur la meilleure transformation non-nécessaire
- Très populaire : 2700+ citations



Prédiction de la transformation



Nombreuses applications

- Classification d'image (en présence de fortes distorsions)
- Attention spatiale
 - Focaliser sur de petites parties de l'image, ce qui augmente l'efficacité computationnelle
- Co-localisation (lorsque plusieurs instances du même objet sont présents)



Spatial transformer (ST)

- Applique une **transformation spatiale** sur les feature maps, lors du *forward pass*
- Va manipuler directement les *feature maps* (données), pas les filtres
 - Distorsion appliqués sur tous les canaux
- Peut s'insérer à plusieurs endroits (profondeur *ou* en parallèle)
- **Pleinement différentiable** : compatible avec entraînement end-to-end via backprop
- S'insère dans n'importe quelle architecture



Paramètres de transformation θ

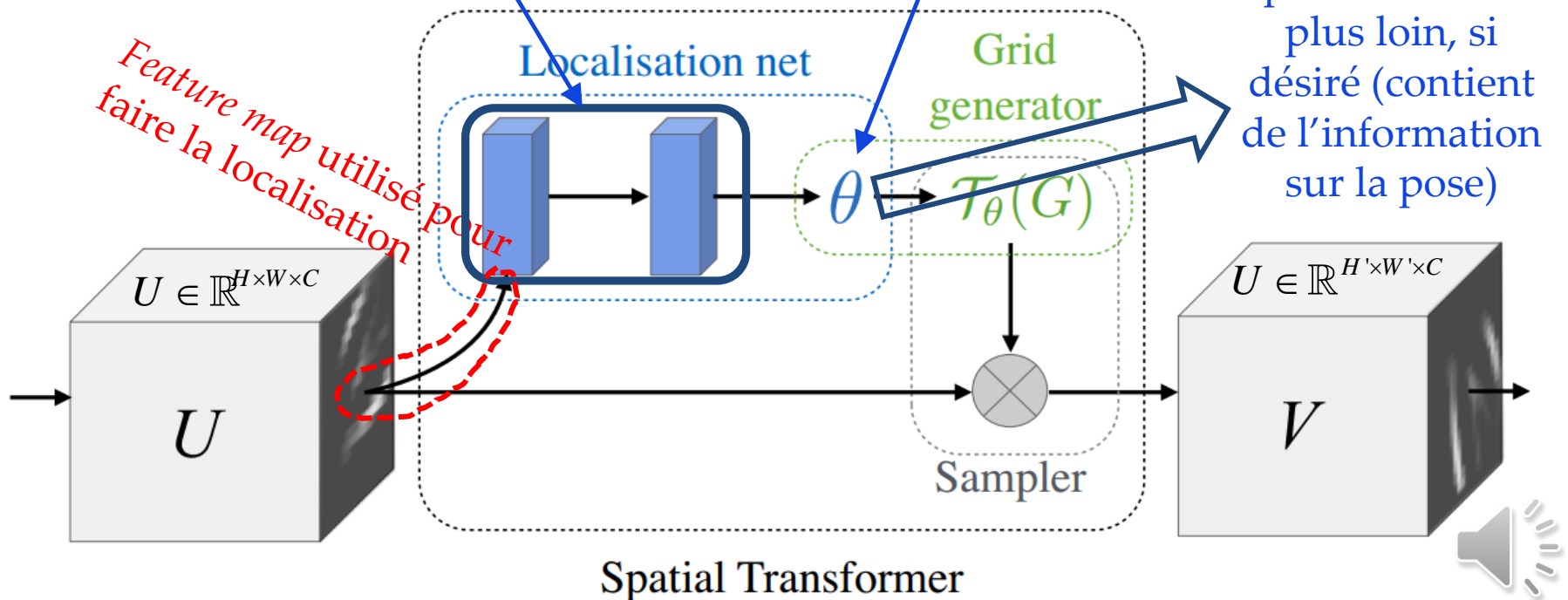
La transformation θ sera donc conditionnelle à l'entrée

CNN ou *fully-connected*, avec couche finale de régression

Paramètres de transformation spatiale

p.e. θ est 6-dim pour affine

θ peut être utilisé plus loin, si désiré (contient de l'information sur la pose)



Détail de l'architecture (PyTorch)

```
# Spatial transformer Localization-network
```

```
self.localization = nn.Sequential(  
    nn.Conv2d(1, 8, kernel_size=7),  
    nn.MaxPool2d(2, stride=2),  
    nn.ReLU(True),  
    nn.Conv2d(8, 10, kernel_size=5),  
    nn.MaxPool2d(2, stride=2),  
    nn.ReLU(True)  
)
```

```
# Regressor for the 3 * 2 affine matrix
```

```
self.fc_loc = nn.Sequential(  
    nn.Linear(10 * 3 * 3, 32),  
    nn.ReLU(True),  
    nn.Linear(32, 3 * 2)  
)
```

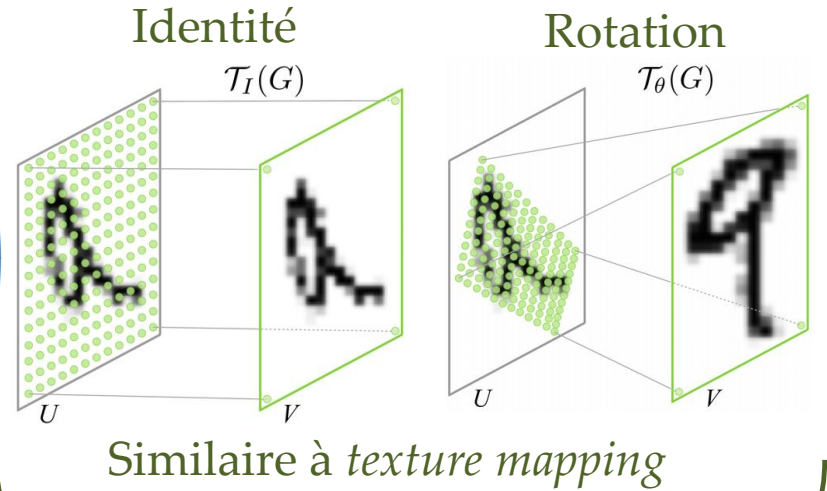


Déformation des feature maps

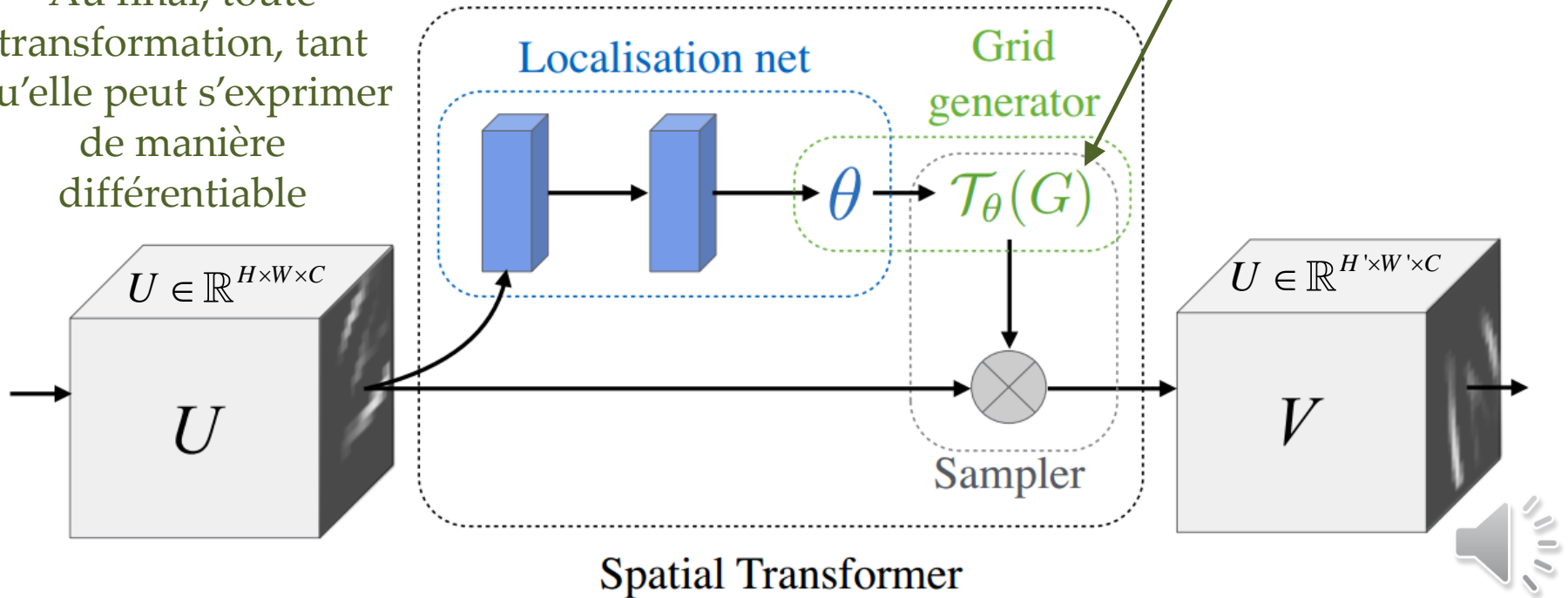
6 paramètres θ_{ij} permettant le cropping, translation, rotation, échelle et cisaillement

$$\begin{pmatrix} x_i^s \\ y_i^s \end{pmatrix} = \mathcal{T}_\theta(G_i) = \begin{bmatrix} s & 0 & t_x \\ 0 & s & t_y \end{bmatrix} \begin{pmatrix} x_i^t \\ y_i^t \\ 1 \end{pmatrix}$$

... ou à avoir un modèle d'attention pur (cropping via échelle s + translation)

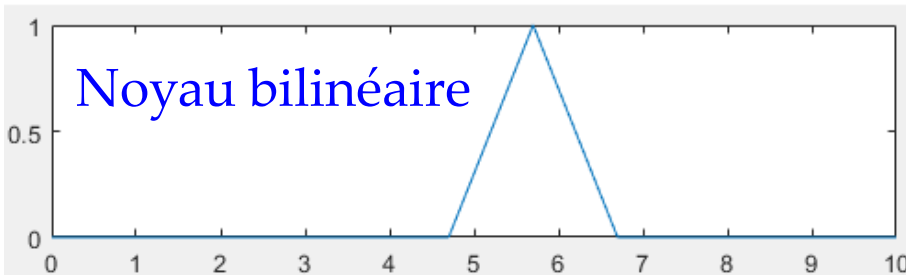
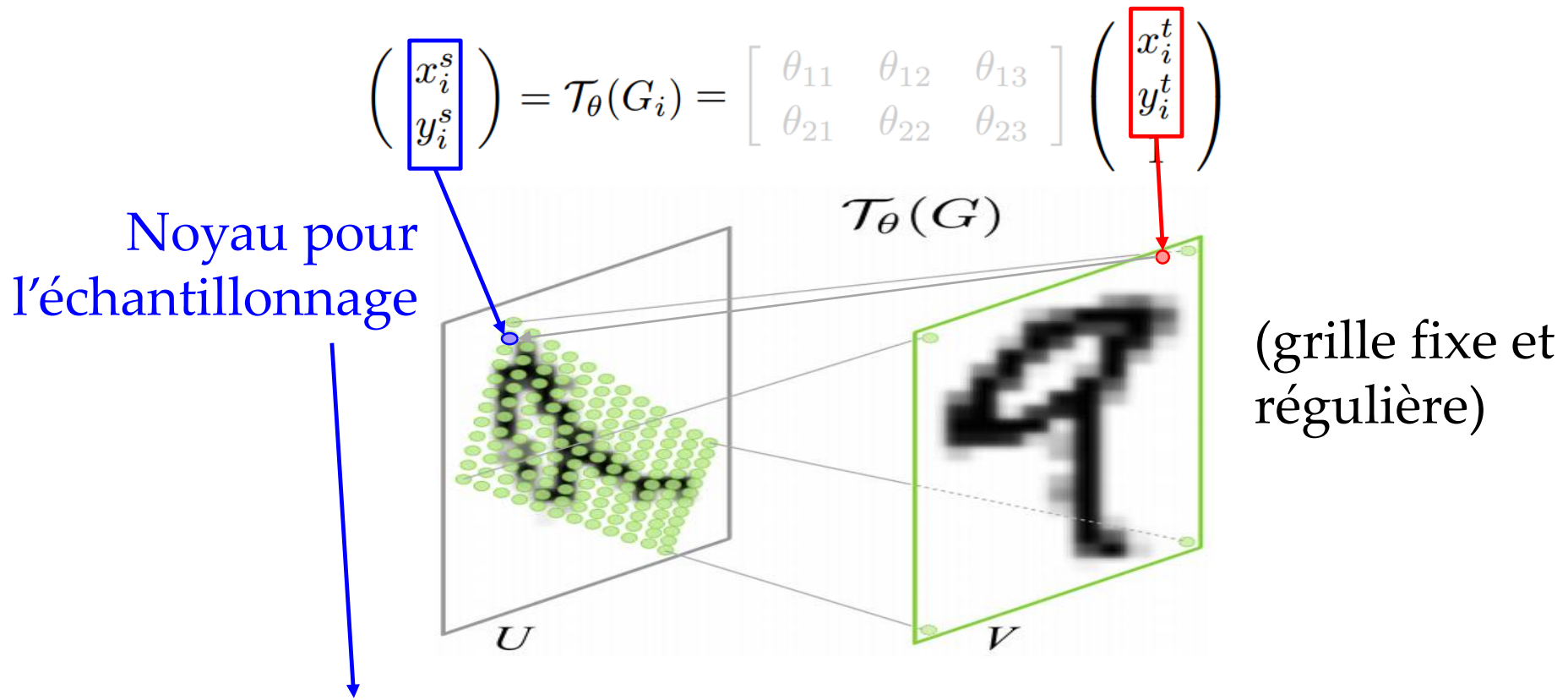


Au final, toute transformation, tant qu'elle peut s'exprimer de manière différentiable



Spatial Transformer

Détail de l'échantillonnage



Pleinement différentiable
par rapport à U , x_i^s et y_i^s



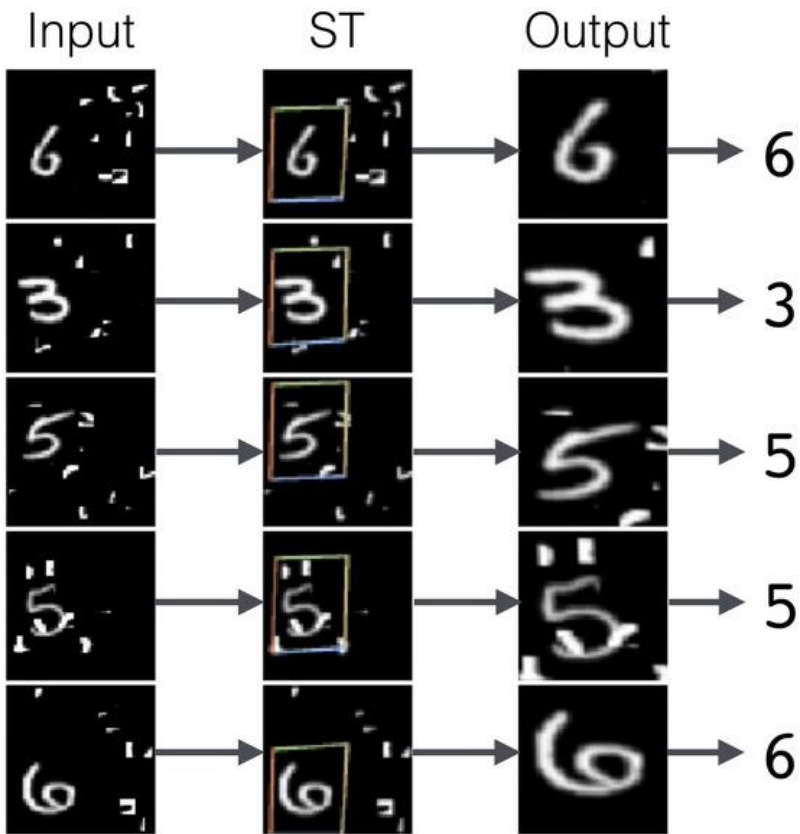
Spatial transform : notes

- Peut les avoir à différentes profondeurs dans un CNN
 - Transformations de plus en plus arbitraires et complexes, via composition
- Ou n en parallèle
 - Pour focaliser sur exactement n objets/parties dans une image

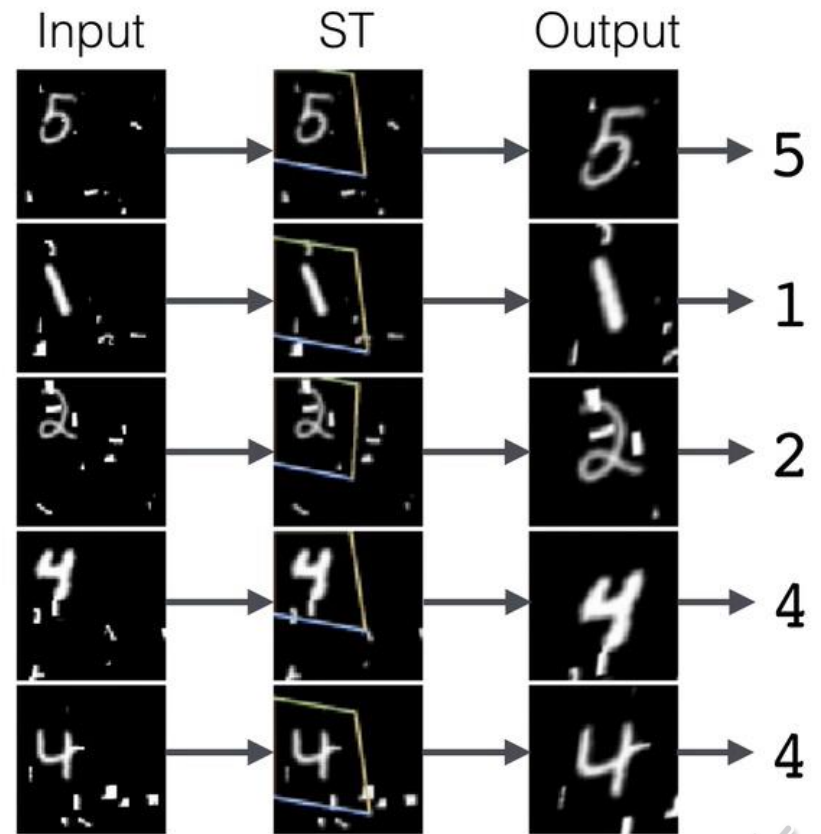
Example

Translated Cluttered MNIST

ST-FCN Affine



ST-CNN Affine



Expérimentations

- MNIST déformés

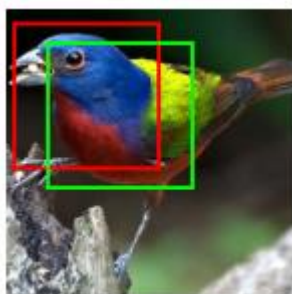


- Street View House Numbers (SVHN)

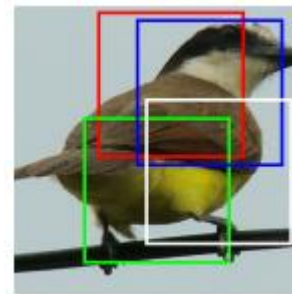


- Bird Classification dataset CUB-200-2011

2 ST en parallèle



4 ST en parallèle



MNIST

- Rotation (R)
- Rotation, échelle et translation (RTS)
- Déformation élastique (E)

Réseaux

Baseline : CNN Fully-Connected (FCN)

Nouveau : ST-CNN ST-FCN

(entraînement standard : backprop, SGD, horaire
d'entraînement pour learning rate, x-entropy multinomiale)



MNIST

Deux couches de maxpool (pour un peu d'invariance spatiale)

Taux d'erreur (%)

| Model | MNIST Distortion | | | | |
|--------|------------------|-----|-----|-----|-----|
| | R | RTS | P | E | |
| FCN | 2.1 | 5.2 | 3.1 | 3.2 | |
| CNN | 1.2 | 0.8 | 1.5 | 1.4 | |
| ST-FCN | Aff | 1.2 | 0.8 | 1.5 | 2.7 |
| | Proj | 1.3 | 0.9 | 1.4 | 2.6 |
| | TPS | 1.1 | 0.8 | 1.4 | 2.4 |
| ST-CNN | Aff | 0.7 | 0.5 | 0.8 | 1.2 |
| | Proj | 0.8 | 0.6 | 0.8 | 1.3 |
| | TPS | 0.7 | 0.5 | 0.8 | 1.1 |

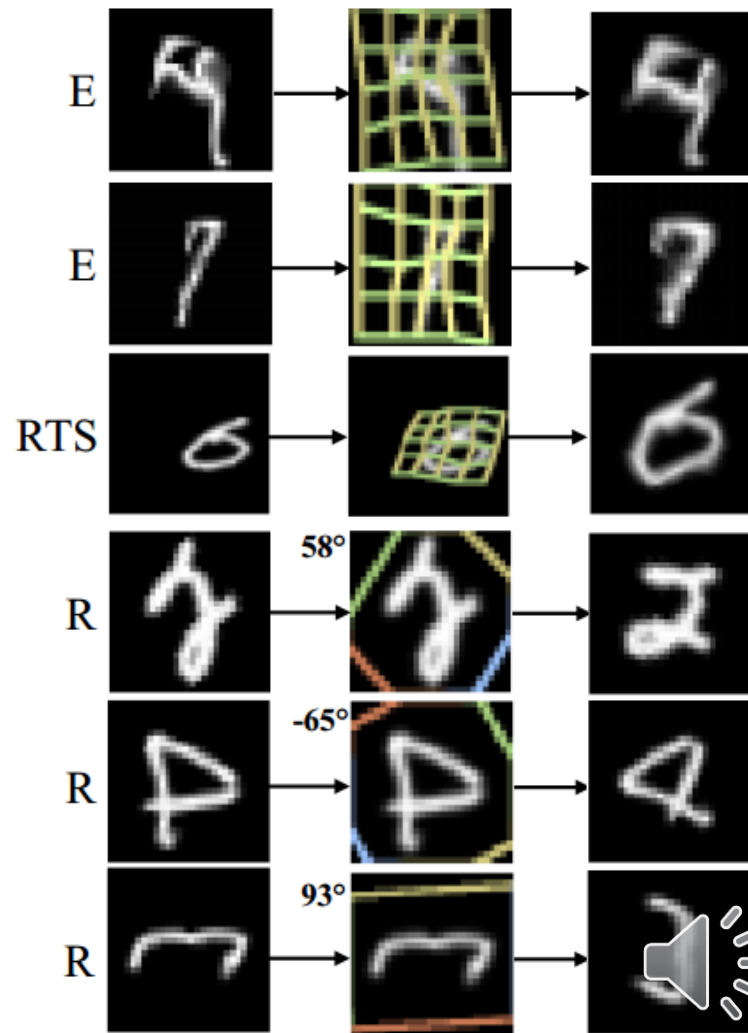
Type de ST
(spatial transform)

Thin plate spline transform

TPS est le mieux

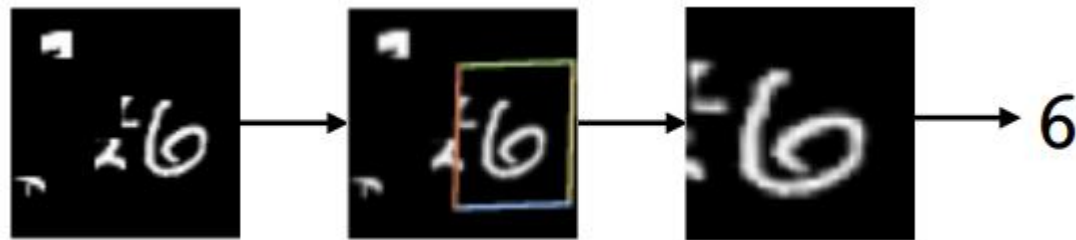
(ne semble pas overfitter sur R)

entrée Transform. prédite sortie du ST



MNIST

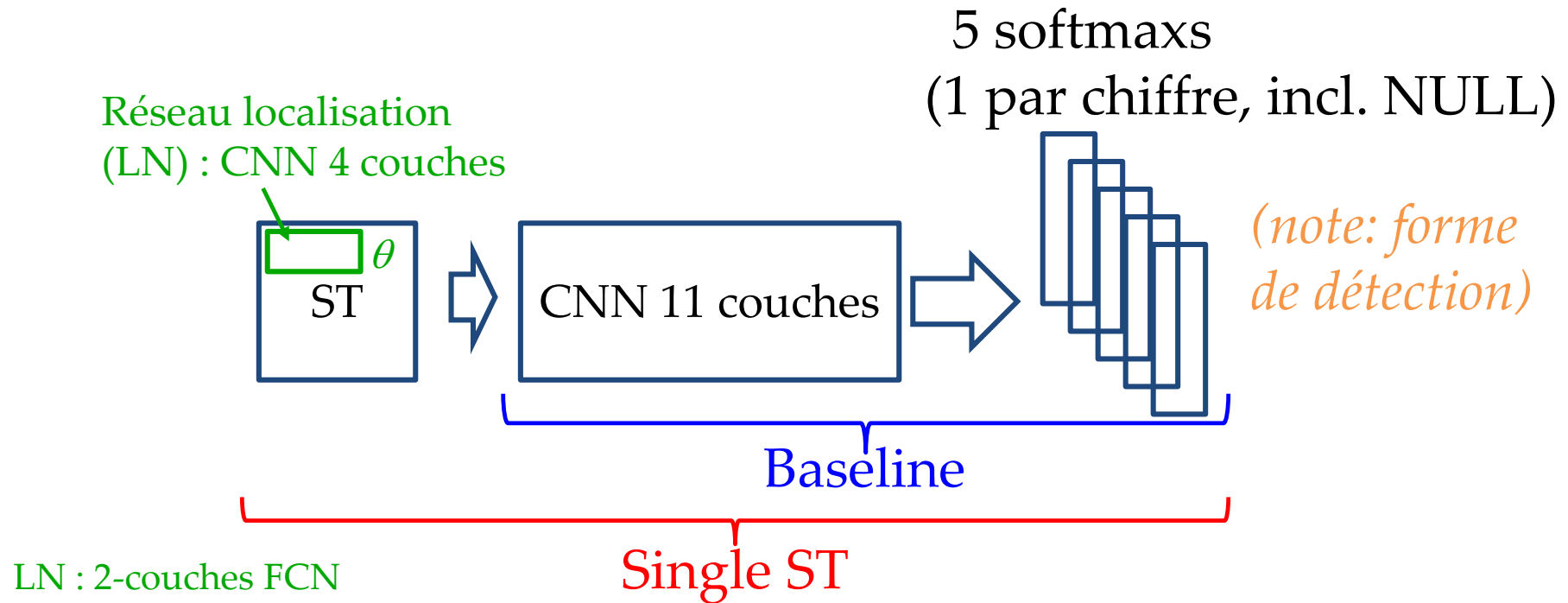
- Images 60x60
- Grandes translation + rotation + clutter



| | FCN | CNN | ST-FCN | ST-CNN |
|------------|------|-----|--------|--------|
| Erreur (%) | 13.2 | 3.5 | 2.0 | 1.7 |

Street View House Numbers

- SVHN : 200k images, 1 à 5 chiffres à identifier
- Grande variabilité dans l'échelle, disposition spatial



LN : 2-couches FCN
avec 32 unités cachées

Multi ST: ST \rightarrow conv \rightarrow ST \rightarrow conv \rightarrow ST \rightarrow conv \rightarrow ST \rightarrow conv

Tous entraînés avec SGD + dropout

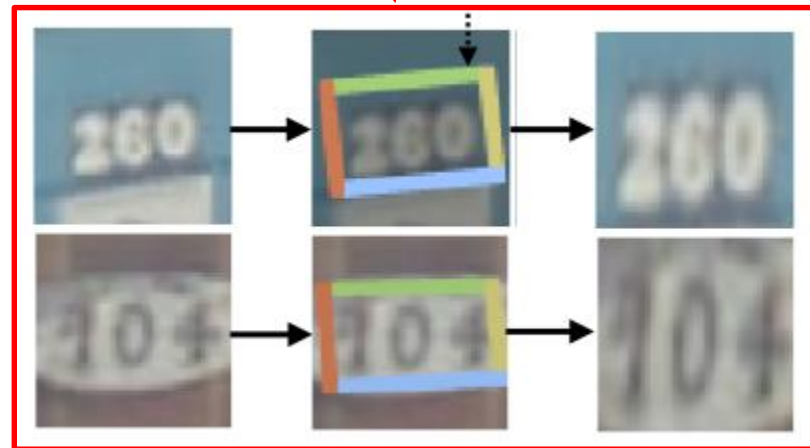
SVHN

Model averaging +
Monte Carlo averaging
(donc plusieurs passes)

| Model | Size | |
|-----------------|------------|------------|
| | 64px | 128px |
| Maxout CNN [13] | 4.0 | - |
| CNN (baseline) | 4.0 | 5.6 |
| DRAM* [1] | 3.9 | 4.5 |
| ST-CNN Single | 3.7 | 3.9 |
| ST-CNN Multi | 3.6 | 3.9 |

Une seule *forward pass*

ST-CNN est
seulement 6% plus
lent que CNN



Bird data set : CUB

- Classification fine : 200 espèces
(6k images entraînement, 5.8k test)

¹Thanks to the eagle-eyed Hugo Larochelle and Yin Zheng for spotting the birds nested in both the ImageNet training set and CUB test set.

- Plusieurs ST en parallèle (détails plus loin)
- Seule étiquette : classe dans l'image (pas la position de l'oiseau)
- Baseline :
 - Inception + batch normalization,
 - Pré-entraîné sur ImageNet
 - Fine-tuned sur CUB
 - Obtient l'état de l'art (82.3%) (Rappel : 2015)

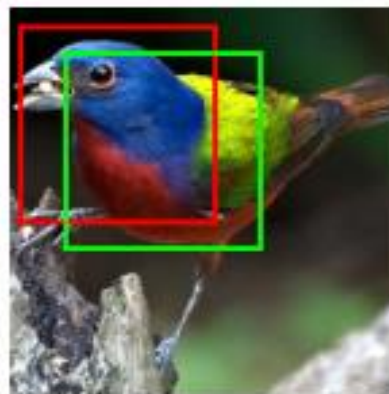


Bird data set : CUB

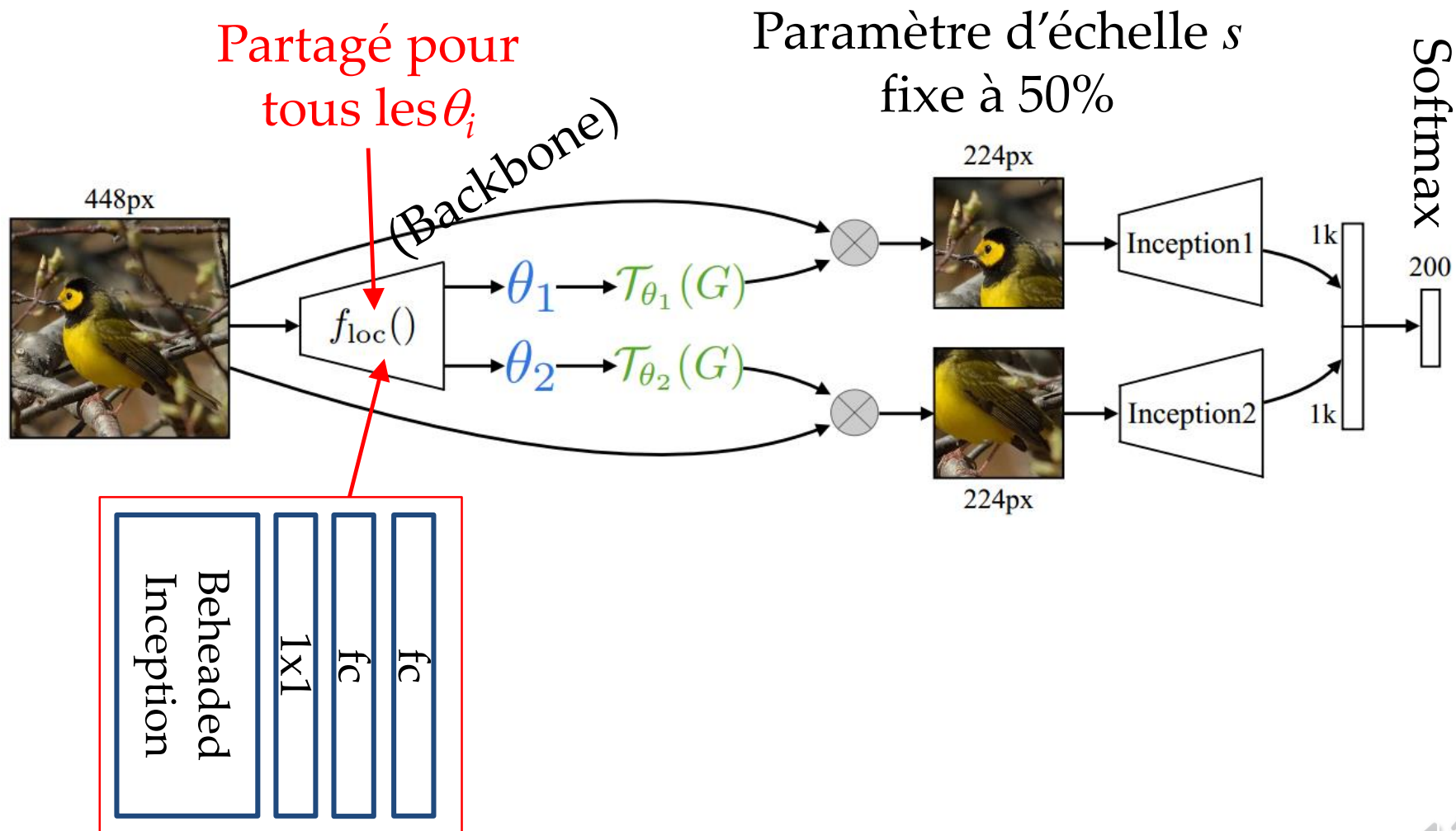
- Tests avec deux architectures
 - 2 Spatial Transform en parallèle
 - 4 Spatial Transform en parallèle
- Transformation est du type “attention”

échelle s fixe (0.5)
$$\begin{pmatrix} x_i^s \\ y_i^s \end{pmatrix} = \mathcal{T}_\theta(G_i) = \begin{bmatrix} s & 0 & t_x \\ 0 & s & t_y \end{bmatrix} \begin{pmatrix} x_i^t \\ y_i^t \\ 1 \end{pmatrix}$$

Correspond à des recherches de *bounding boxes* de demi-taille de l'image d'entrée (ici, cas de deux ST)



Architecture pour 2 ST parallèle

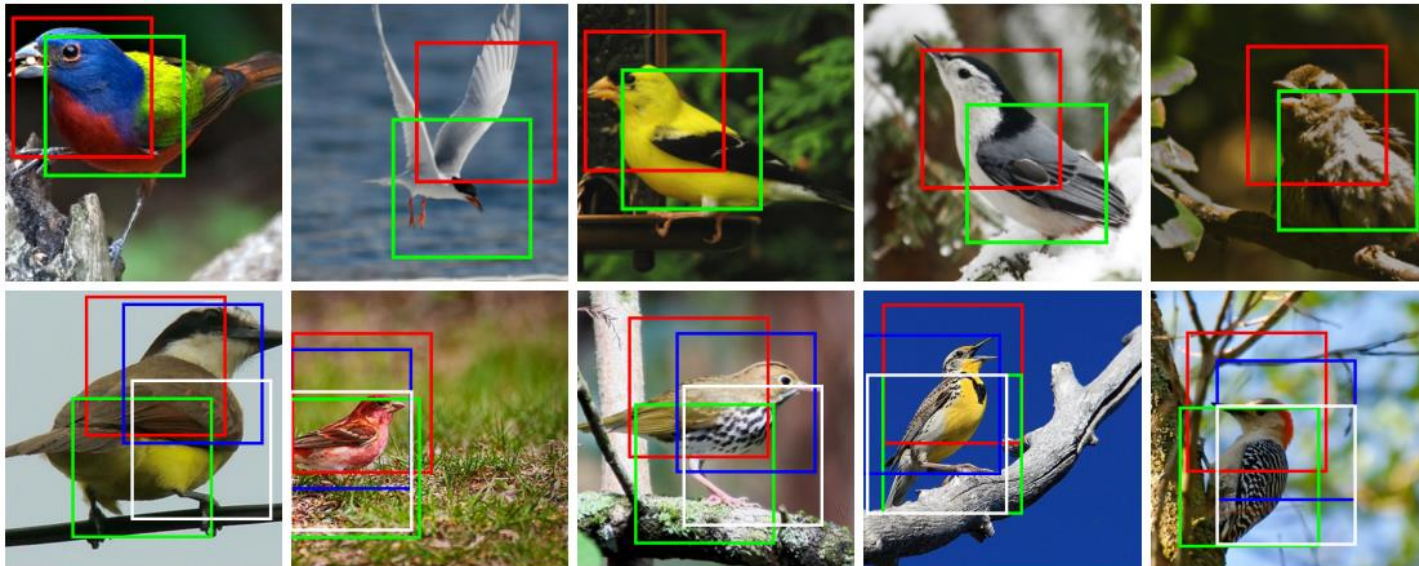


(Détails dans la version arxiv du papier)

Bird data set : CUB-200

| Model | | |
|----------------------------|--|-------------|
| Cimpoi '15 [5] | | 66.7 |
| Zhang '14 [40] | | 74.9 |
| Branson '14 [3] | | 75.7 |
| Lin '15 [23] | | 80.9 |
| Simon '15 [30] | | 81.0 |
| TP2 → CNN (baseline) 224px | | 82.3 |
| 2×ST-CNN 224px | | 83.1 |
| 2×ST-CNN 448px | | 83.9 |
| 4×ST-CNN 448px | | 84.1 |

TP2 →



2×ST-CNN, one of the transformers (shown in red) learns to detect heads, while the other (shown in green) detects the body, and similarly for the 4×ST-CNN. *Se specialise sur des parties*



Conclusion

- Module confiné pleinement différentiable
- Peut s'ajouter facilement à de nombreuses architectures
- Effectue une transformation spatiale explicite des *feature maps*
- Appris end-to-end, sans altération de la fonction de perte
- Fourni des informations supplémentaires : transformation θ